

## การศึกษาระบบท่อเย็นของฟิล์มเป่าด้วยสมการภาระทางความร้อน

### A Study of Cooling System of Blown Film with Thermal Load Equation

**วีรศักดิ์ หมู่เจริญ<sup>1</sup> จิรยุทธ์ รุ่งรัตนพงษ์พร<sup>1</sup> ลดาวัลย์ เพียรทำ<sup>2</sup> และ ชาลิต แสงสวัสดิ์<sup>1</sup>**

#### **บทคัดย่อ**

โครงการนี้เป็นการศึกษาการหล่อเย็น และสร้างแบบจำลองคณิตศาสตร์อ่ย่างง่ายสำหรับงานเป่าฟิล์มพลาสติก โดยใช้สมการภาระทางความร้อนเป็นฐานในการคำนวณ การทดลองใช้เครื่องเป่าฟิล์มนิคเป่าขึ้นวัตถุคือพลาสติกชนิดพอลิเอทิลีน แบบจำลองทางคณิตศาสตร์ที่ได้นี้จะช่วยในการคำนวณหาระยะความสูงของแนวเย็นตัว (Frost line) ของฟิล์มพลาสติกที่ขนาดความกว้างของฟิล์มต่างๆ หรือในทำงกลับกันก็สามารถคำนวณข้อนหาความกว้างฟิล์ม (Lay flat width) และปริมาณความร้อนที่เกิดขึ้นในฟิล์มพลาสติกได้อีกด้วย ทำให้เกิดความสะดวกในการปรับตั้งเครื่องจักรประยุกต์เวลาและวัตถุคุณ ในการทดลองได้ทำการเป่าฟิล์มพลาสติกที่ความหนา 0.04 มิลลิเมตร ในขนาดความกว้างแตกต่างกัน แล้ววัดแนวการเย็นตัวจากปากไอน้ำทึบผลแล้ววัดอุณหภูมิที่หัวไนและที่ลูกกลิ้งหนึ่ง (Nip roll) นำมาคำนวณสร้างความสัมพันธ์จากการไฟฟ้าสมการเกิดขึ้นใหม่ที่มี 2 ตัวแปรด้วยกัน คือ ความกว้างฟิล์ม และความสูงของแนวเย็นตัว สุดท้ายพบว่าผลจากการคำนวณด้วยสมการที่เกิดขึ้นนี้มีค่าใกล้เคียงกับค่าที่ได้จากการทดลองจริง

**คำสำคัญ :** การหล่อเย็นฟิล์ม, แนวเย็นตัว,

ความกว้างฟิล์ม, ภาระทางความร้อน

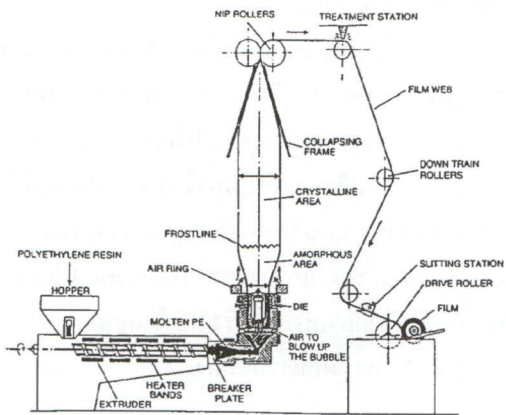
#### **1. บทนำ**

ถุงพลาสติกและฟิล์มพลาสติกที่ใช้กันอยู่ทั่วไปปกติจะผลิตโดยใช้กระบวนการเป่า โดยกระบวนการนี้จะทำการเป่าลมเข้าไปในพลาสติกเหลวที่ไหลออกมาจากไชของเครื่องอัดรีด ทำให้พลาสติกเหลวพองตัวออกไปและแข็งตัวเป็นถุงโป่ง จนนี้จะทำการหนีบโดยถูกกลึงหนึ่งและพันเข้าม้วนเพื่อรอจำหน่าย ครูปที่ 1 ทั้งนี้การผลิตฟิล์มพลาสติกโดยการเป่าให้ได้คุณภาพนั้นขึ้นอยู่กับปัจจัยการผลิตหลายปัจจัย ตัวอย่างเช่นความเร็วของสกรู ชนิดของเม็ดพลาสติก อัตราการเบ่งตัวฯ แต่ทั้งนี้พบว่าปัจจัยสำคัญประการหนึ่งที่มีผลต่อทั้งคุณภาพและลดการใช้พลังงานของโรงงานลงทำให้ประหยัดต้นทุนได้ ก็คือ เทคนิคการหล่อเย็นถุงโป่งซึ่งทางโรงงานได้พยายามลองผิดลองถูกหาแนวทางในการปรับระบบหล่อเย็นด้วยตนเองแต่พบว่าเป็นการเสียเวลา เสียวัตถุคุณ และเสียไฟฟ้าไปเป็นต้นทุนเพิ่มขึ้น ดังนั้นจากปัญหาที่กล่าวมา ตอนต้นทางบริษัทและผู้ดำเนินโครงการวิจัยจึงมีความคิดที่จะหาแบบจำลองทางคณิตศาสตร์อ่ย่างง่ายมาช่วยในการคำนวณ เพื่อลดปัญหาการลองผิดลองถูก และสามารถนำค่าที่ได้ไปปรับตั้งระบบหล่อเย็นได้อย่างถูกต้องต่อไป

<sup>1</sup>ภาควิชาวิศวกรรมวัสดุและโลหการ คณะวิศวกรรมศาสตร์ มหาวิทยาลัยเทคโนโลยีราชมงคลรัตนบุรี

<sup>2</sup>บริษัท เดชะ เอ็นด ชั้น จำกัด

## 2. อุปกรณ์และวิธีการ



รูปที่ 1 เครื่องเป่าฟิล์มพลาสติก

### 2.1 ความสูงของแนวเย็บตัว [1]

ปกติการเป่าฟิล์ม พอลิเอทธิลิน ควรใช้อุณหภูมิที่กระบวนการอัดครึ่ดประมาณ  $140 - 190^{\circ}\text{C}$  กรณีจะพบว่าอุณหภูมินี้ต่ำแล้วใช้อัตราการผลิตเร็วแนวเย็บตัวจะไม่สูงจากหัวไถมากนัก ถ้าการหล่อเย็นของเครื่องเป่าฟิล์มพอเพียงก็สามารถเดินเครื่องอัดครึ่ดพลาสติกพอลิเอทธิลิน ได้สูงถึง  $205^{\circ}\text{C}$  โดยทั่วๆ ไปแนวเย็บตัวจะสังเกตเห็นได้ยาก เพราะความใสของพอลิเอทธิลิน จึงมีข้อแนะนำให้กระเจาจากแนวที่พลาสติกเริ่มขยายเส้นผ่านศูนย์กลางก็ถือว่าใช้ได้ ความสูงของแนวเย็บตัวจะต้องปรับให้สัมพันธ์กับเส้นผ่านศูนย์กลางของลูกโป่งให้ถูกต้องด้วย เช่น ถ้าขยายเส้นผ่านศูนย์กลางของลูกโป่งออกเรื่อยๆ จนถึง  $90\text{ cm}$  ความสูงของแนวเย็บตัวก็จะอยู่ในช่วง  $10 - 60\text{ cm}$

การควบคุมความสูงของแนวเย็บตัวจะเป็นผลสั่งต่อการควบคุมการเรียงตัวของพลาสติกในทิศทางรอบๆ ลูกโป่ง ความสูงของแนวเย็บตัวสามารถปรับตั้งโดยการควบคุมอัตราการไหลออกของพลาสติกหรือไม่ก็ปรับความเร็วของลูกกลิ้งดึง แต่ว่าที่ที่นิยมมากกว่าก็คือปรับตั้งความสูงของแนวเย็บตัวโดยความคุณสมบัติของพลาสติก

ถ้าสังเกตให้ดีเมื่อเดินสกรูให้ความเร็วอบสูงขึ้นจะทำให้ความสูงของแนวเย็บตัวสูงตามไปด้วย แต่เมื่อป้อนปริมาณลมเย็นให้มากขึ้นก็กลับทำให้ความสูงของแนว

เย็บตัวลดลง ในทำนองกลับกันถ้าลดปริมาณลมหล่อเย็นลงจะทำให้ความสูงของแนวเย็บตัวสูงขึ้นไปอีก

แนวเย็บตัวที่สูงหมายความว่าเวลา ก่อนที่พลาสติกจะเบ่งตัวยิ่งมากส่งผลให้ฟิล์มนี้ผิดรูปริบสม่ำเสมอ แต่อย่างไรก็ตามถ้าแนวเย็บตัวสูงเกินไปก็จะทำให้การม้วนพับฟิล์มที่ลูกกลิ้งสุดท้ายเกิดการติดกันได้ ไม่แต่เท่านั้นอาจทำให้ฟิล์มพลาสติกเกิดการติดกันที่ลูกกลิ้งหนึ่นบีกต่างหาก

นอกจากนั้นแล้วความสูงของแนวเย็บตัวจะต้องสูงสม่ำเสมอรอบๆ ลูกโป่งพลาสติก ไม่เช่นนั้นแล้วฟิล์มพลาสติกจะหนามีเท่ากัน

### 2.2 สมการการคำนวณหาภาระทางความร้อน [8]

ภาระทางความร้อนของการเป่าฟิล์มพลาสติกที่เกิดขึ้นกับหัวเรื่องอัตโนมัติที่มีชุดหัวไกและวงแหวนลมตามปกติได้รับการเสนอไว้โดย Richard R. Knittel และ Richard J. Dejonghe , Jr. จะแสดงไว้ดังสมการ (1) ด้านล่างดังนี้

$$LT = W_b \times [ C_{pl} (T_b - T_f) + HF + C_{ps} (T_f - T_p) ] \quad (1)$$

เมื่อ  $L_T$  = ภาระความร้อนทั้งหมด , Btu/lbs

$C_{pl}$  = ความจุความร้อนก่อนแนวเย็บตัว, Btu/(lbs °F)

$C_{ps}$  = ความจุความร้อนหลังแนวเย็บตัว, Btu/(lbs °F)

HF = ความร้อนของการหลอมเหลว, Btu/lbs

$W_b$  = อัตราการไหลของมวล, lb/hr

$T_f$  = อุณหภูมิหลอมละลาย, °F

$T_p$  = อุณหภูมิของฟิล์มที่ลูกกลิ้งหนึ่นลูกแรก, °F

$T_b$  = อุณหภูมิของเหลวบัลค์, °F

### 2.3 วัตถุคิดและเครื่องจักรที่ใช้ในการทดสอบ

จะใช้มีดพลาสติกพอลิเอทธิลินชนิดความหนาแน่นต่ำ (LDPE) เกรด 1210 G1 ของบริษัท Dow Plastics มาทดลองเป่าฟิล์มผ่านเครื่องเป่าฟิล์มยี่ห้อ A.R. Product Ltd. Part จำกัด รุ่น AL-55

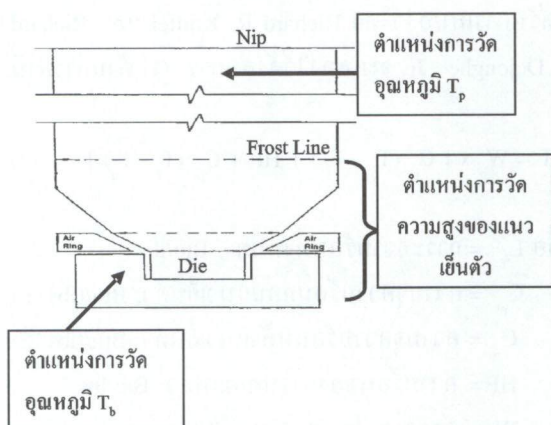
### 2.4 การทดสอบ

2.4.1 ทำการเป่าฟิล์มให้มีขนาดความกว้าง 435-480 มิลลิเมตร และหนา  $0.04 \pm 0.01$  มิลลิเมตร

2.4.2 ปรับตั้งความสูงของแนวเย็บตัว โดยการหมุนแนวลุมหล่อเย็น ไปทิศน้อยจนกว่าแนวลุมไม่สามารถปรับได้อีก



รูปที่ 2 ทิศทางการหมุนแนวลุมหล่อเย็น



รูปที่ 3 การวัดอุณหภูมิที่ตำแหน่งต่าง ๆ

2.4.3 วัดอุณหภูมิพลาสติกหลอมเหลวที่ไหลออกมาจากไถ,  $T_b$

2.4.4 วัดอุณหภูมิฟิล์มพลาสติกที่ตำแหน่งถูกกลึงหนึบ,  $T_p$

2.4.5 วัดความสูงของแนวเย็บตัวที่เกิดขึ้นบนฟิล์มเหนือปากไถโดยวัดเฉลี่ยอย่างน้อย 3 ครั้ง

2.4.6 นำค่าต่างๆ ที่วัดได้ไปคำนวณหาค่าการทางความร้อน ( $L_t$ ) ดังสมการที่ (1)

2.4.7 หากความสัมพันธ์ระหว่างค่า  $L_t$  กับค่าความสูงของแนวเย็บตัวจากกราฟ

2.4.8 และหากความสัมพันธ์ระหว่างค่า  $L_t$  กับค่าความกว้างของฟิล์มจากกราฟ

2.4.9 นำผลลัพธ์ที่ได้จากข้อ 4.7 และ 4.8 มาหาความสัมพันธ์ร่วมกันจนได้แบบจำลองทางคณิตศาสตร์

2.4.10 นำแบบจำลองที่ได้ไปทดลองคำนวณ

2.4.11 เก็บตัวอย่างฟิล์มน้ำไปทดสอบสมบัติด้านการทนต่อแรงดึงตามแนวเครื่องจักร (Machine Direction; MD) และตามแนววางเครื่องจักร (Transverse Direction; TD) ทั้งจากที่ได้จากการเป่างานจริงและที่ได้จากการคำนวณ

2.4.12 สรุปผลการทดลอง

### 3. ผล

#### 3.1 ผลจากการคำนวณ

ผลการคำนวณการทางความร้อน พร้อมทั้งตัวแปรและค่าที่วัดได้ จะแสดงไว้ดังตารางที่ 1 เมื่อทราบค่าคงที่ของพอลิเอทธิลีน ชนิดความหนาแน่นต่ำดังต่อไปนี้

$$\text{เมื่อ } C_{pl} = 0.65 \text{ Btu / (lbs}^{\circ}\text{F)} \quad [10]$$

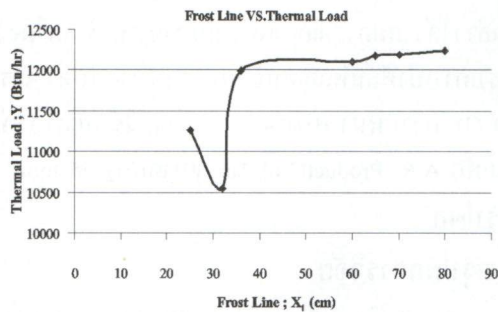
$$C_{ps} = 0.55 \text{ Btu / (lbs}^{\circ}\text{F)} \quad [12]$$

$$HF = 62 \text{ Btu / lbs} \quad [7]$$

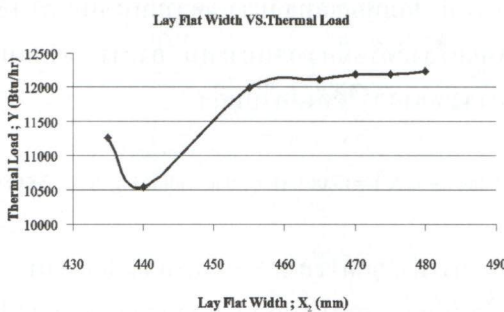
ตารางที่ 1 ตัวแปรและค่าต่างๆ ที่วัดได้จากการทดลองพร้อมค่าการทางความร้อน

ตัว อ้างที่	Lay Flat Width; X <sub>2</sub> (mm)	W <sub>b</sub> lb/hr	T <sub>r</sub> (°F)	T <sub>p</sub> (°F)	T <sub>b</sub> (°F)	Frost Line; X <sub>1</sub> (cm)	Thermal Load; Y (Btu/hr)
1	435	60.9	230	113	320	25	11,257.365
2	440	60.9	230	113	302	32	10,544.835
3	455	60.9	230	122	349	36	11,994.255
4	465	60.9	230	122	351	60	12,103.860
5	470	60.9	230	117	347	65	12,183.050
6	475	60.9	230	117	347	70	12,192.180
7	480	60.9	230	118	349	80	12,237.855

เมื่อนำค่าการทางความร้อนมาพลอตกราฟคู่กับความสูงของแนวเย็บตัว จะได้เส้นโค้งดังรูปที่ 4 และถ้ามาพลอตกราฟคู่กับความกว้างของฟิล์ม จะได้เส้นโค้งตามรูปที่ 5



รูปที่ 4 กราฟแนวเส้นตัวกับการทางความร้อน



รูปที่ 5 กราฟความกว้างฟิล์มกับการทางความร้อน

พื้นที่สามารถปรับเปลี่ยนโค้ง(Curve Fitting) [4] ได้สมการ (2) จากรูปที่ 4 และ สมการ (3) จากรูปที่ 5 ดังต่อไปนี้

$$Y_e = 7,416.033 + 2,593.760 \log X_1 \quad (2)$$

$$Y_e = -78,402.321 + 33,876.885 \log X_2 \quad (3)$$

เมื่อรวมความสัมพันธ์ของสมการทั้งสองจะได้สมการใหม่ที่ให้ผลแผลงตัวแปรดังนี้

$$\log X_1 = 13.061 \log X_2 - 33.086 \quad (4)$$

โดย  $\log X_1 = FL$ , ความสูงแนวเส้นตัว (cm)

$$\log X_2 = LW, \text{ ความกว้างฟิล์ม (mm)}$$

ตารางที่ 2 เป็นผลการเปรียบเทียบความสูงของแนวเส้นตัวที่ใช้กันอยู่ตามปกติภายในโรงงานกับความสูงของแนวเส้นตัวที่ตั้งสภาวะไปตามการคำนวณจากสมการ (4) โดยกำหนดหน้ากว้างของฟิล์มจาก 435 mm ไปถึง 480 mm ที่ความหนา  $0.04 \pm 0.01$  mm

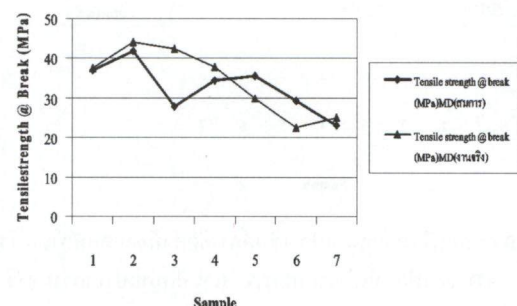
ตารางที่ 2 แนวเส้นตัวที่ได้จากการคำนวณ,  $\log X_1$  และแนวเส้นตัวที่ได้จากการปฏิบัติจริง, X ตามหน้ากว้างของฟิล์ม,  $\log X_2$  ขนาดต่างๆ

Lay Flat Width ; $\log X_2$ (mm)	Frost Line ; $\log X_1$ (cm)	Frost line ; X (cm)
435	24	23
440	28	30
455	43	40
465	57	60
470	65	65
475	75	78
480	86	90

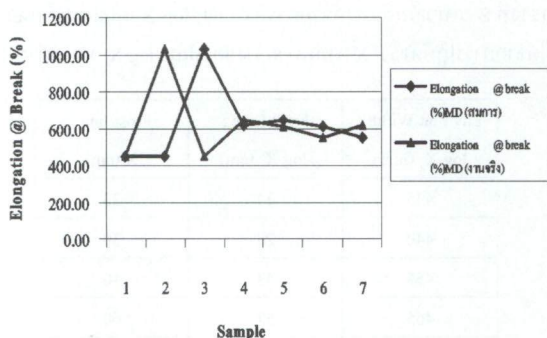
จากตารางที่ 2 พบว่าค่าแนวเส้นตัว(Frost Line; Log  $X_1$ ) ที่ได้จากการคำนวณ และค่าแนวเส้นตัว (Frost Line; Log X) ที่ได้จากการปฏิบัติงานเป้าฟิล์มจริงของการเป้าฟิล์ม พอลิเอทธิลีนชนิดความหนาแน่นต่ำ เกรด 1210 G1 ที่ความหนา  $0.04 \pm 0.01$  mm ที่ความกว้างฟิล์มในช่วง 435 - 480 มิลลิเมตร พบว่ามีค่าใกล้เคียงกันโดยยืนยันได้จาก Independent-Sample T Test ที่  $\alpha = 0.05$  พบว่ามีความเชื่อมั่นได้ 95 %

### 3.2 ผลการทดสอบสมบัติ

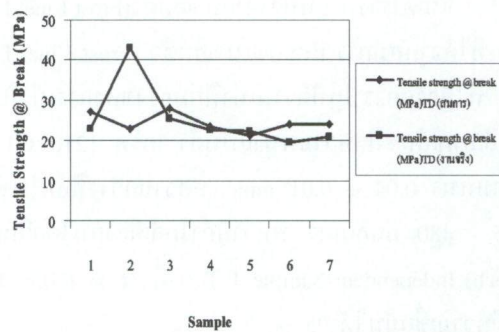
ผลการทดสอบสมบัติด้านการทนแรงดึงของฟิล์มพลาสติกที่ตั้งค่าแนวเส้นตัวไปตามปกติที่ใช้กันอยู่จริงภายในโรงงานเทียบกับฟิล์มพลาสติกที่ตั้งค่าแนวเส้นตัวไปตามการคำนวณ จะแสดงไว้ในรูปที่ 6 - รูปที่ 9



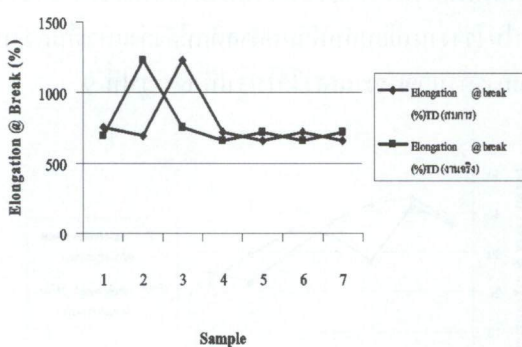
รูปที่ 6 กราฟเปรียบเทียบค่าการทนต่อแรงดึงของฟิล์มใน MD ของฟิล์มที่เป้าจากสมการ และฟิล์มที่เป้าจากงานจริง



รูปที่ 7 กราฟเปรียบเทียบค่าเบอร์เช็นต์การยืดด้วยจุดเด็กหักในแนว MD ของฟิล์มที่เป้าจากสมการ และฟิล์มที่เป้าจากงานจริง



รูปที่ 8 กราฟเปรียบเทียบค่าการทนต่อแรงดึงของฟิล์มในแนว TD ของฟิล์มที่เป้าจากสมการ และฟิล์มที่เป้าจากงานจริง



รูปที่ 9 กราฟเปรียบเทียบค่าเบอร์เช็นต์การยืดด้วยจุดเด็กหักในแนว TD ของฟิล์มที่เป้าจากสมการ และฟิล์มที่เป้าจากงานจริง

จะพบว่าสมบัติด้านการทนแรงดึงของฟิล์มทั้งสองสภาวะมีค่าใกล้เคียงกัน และมีแนวโน้มการเปลี่ยนแปลงของเส้นกราฟไปในทิศทางเดียวกันทั้งสองกรณี ดังนั้นจึง

อาจกล่าวได้ว่าสมการที่เกิดขึ้นใหม่นี้สามารถใช้งานได้จริงสำหรับการเป้าฟิล์มพอลิเอทธิลีนความหนาแน่นค่า เกรด 1210 G1 ความหนา  $0.04 \pm 0.01$  mm. ใช้กับเครื่องเป้าฟิล์มยี่ห้อ A.R. Product Ltd. Part ขนาดสกรู 55 mm

#### 4. สรุปผล

##### 4.1 สรุปผลการวิจัย

จากการวิจัยพบว่าการใช้สมการการระทบกความร้อนของ Knitel และ DeJonghe เข้าศึกษาระบบที่ล้อเย็นของการเป้าฟิล์มพอลิเอทธิลีนชนิดความหนาแน่นค่า เป้าขึ้นจากเครื่องอัดด้วยความเหมาะสม สามารถเขียนแบบจำลองคณิตศาสตร์ได้ดังต่อไปนี้คือ

$$(Frost line, \log X_1) = 13.061 (\text{Lay flat width, } \log X_2) - 33.086$$

การประยุกต์ใช้สมการการคำนวณที่เกิดขึ้นนี้ มีประโยชน์สามารถกำหนดความสูงของแนวเย็บตัวไว้ได้อย่างพอเหมาะสม ลดการเสียเวลา วัสดุคุณภาพ และค่าไฟฟ้าลงได้ เมื่อจากการลองผิดลองถูกของพนักงานที่ริ่มปฏิบัติงานเป้าฟิล์มใหม่ ๆ อีกทั้งยังส่งผลให้ฟิล์มพลาสติกที่ผลิตขึ้นมีคุณภาพตรงตามความต้องการของลูกค้า ยกประดิษฐ์ภาพของโรงงานได้ดีต่อไป

##### 4.2 ข้อเสนอแนะ

เพื่อให้การวิจัยสมบูรณ์มากขึ้น ควรจะทดลองการศึกษาระบบที่ล้อเย็นของฟิล์มเป้าด้วยสมการการระทบกความร้อนนี้กับพลาสติกชนิดอื่น ๆ หรือกับเครื่องเป้าฟิล์มเครื่องอื่น ๆ เพื่อให้ได้ข้อมูลเพียงพอ กับการสร้างแบบจำลองทางคณิตศาสตร์นี้อีก จากนั้นก็ควรใช้หลักการทำงานสถิติในระดับสูงกว่านี้เข้าวิเคราะห์ผลการทดลองเพื่อให้เกิดความถูกต้องเป็นที่ยอมรับ ได้มากขึ้น

#### 5. กิตติกรรมประกาศ

ขอขอบคุณผู้จัดการ บริษัท เทช แอนด์ ชัน จำกัด คุณประเสริฐ เทชรัชต์กิจ ที่ให้ความอนุเคราะห์เม็ดพลาสติก และใช้เครื่องเป้าฟิล์มในการทดลอง รวมถึงคุณดาวลักษณ์ เพียรทำ วิศวกร บริษัท เทช แอนด์ ชัน จำกัด ที่อยู่ให้ความช่วยเหลือในการทดลอง และขอ

ขอบคุณคณะวิศวกรรมศาสตร์ มหาวิทยาลัยเทคโนโลยี  
ราชมงคลรัตนบุรี ที่ให้ทุนสนับสนุนในการทำโครงการ  
เอกสารอ้างอิง

- [1] ชวลิต แสงสวัสดิ์. กระบวนการเป่าฟิล์ม.  
ปัจุบันนี้ : สูญญากาศและฝึกอบรมอุตสาหกรรม  
พลาสติก สถาบันเทคโนโลยีราชมงคล. 2540.
- [2] ธนานิทร์ ศิลป์จากรุ. การวิจัยและวิเคราะห์ข้อมูล  
ทางสถิติด้วย SPSS. พิมพ์ครั้งที่ 4. กรุงเทพฯ :  
โรงพิมพ์ วี. อินเตอร์ พรีน จำกัด, 2548.
- [3] บรรลেง ศรนิล. เทคนิคโนโลยีพลาสติก. พิมพ์  
ครั้งที่ 5. กรุงเทพมหานคร : สมาคมส่งเสริม  
เทคโนโลยี (ไทย-ญี่ปุ่น), 2546.
- [4] สมจิต วัฒนาชยาภูมิ. สถิติวิเคราะห์เบื้องต้น.  
กรุงเทพมหานคร : ภาควิชาคณิตศาสตร์และสถิติ  
มหาวิทยาลัยธรรมศาสตร์, 2545.
- [5] Belofsky, H. **Plastics: Product Design and  
Process Engineering.** Munich : Hanser Publishers,  
1995.
- [6] Hensen, Friedhelm. **Plastics Extrusion  
Technology.** : Carl Hanser Verlag, Munich  
Vienna New York, 1997.
- [7] J. Brandrup .and E.H. Immergut. **POLYMER  
HANDBOOK.** 3th ed.United States of America  
: simultaneously, 1989.
- [8] Kanai, T. and G. A. Campbell. **Film Processing.**  
: Germany : Carl Hanser Verlag Munich, 1999.
- [9] Levy, Sidney and Carley, James F. **Plastics  
Extrusion Technology Handbook.** : United  
States of America, 1989.
- [10] Naranjo C, Alberto. Maria del Pilar Norlega  
E. Juan Diego Sierra M. Juan Rodrigo Sanz.  
**Extrusion Processing Data.** Munich Hanser  
Publisshers,
- [11] Vargas, Chairman. **FILM EXTRUSION  
MANUAL.** :TAPPI PRESS, 1992.
- [12] V.Rosato,Donald and V.Rosato, Dominick.  
**Plastics Processing Data Handbook.** New York.  
: Van Nostrand Reinhold, 1990.

